

(19) 日本国特許庁(JP)

(12) 特許公報(B2)

(11) 特許番号

特許第4457084号
(P4457084)

(45) 発行日 平成22年4月28日 (2010.4.28)

(24) 登録日 平成22年2月12日 (2010.2.12)

(51) Int. Cl. F I
G06F 7/38 (2006.01) G06F 7/38 B

請求項の数 2 (全 13 頁)

<p>(21) 出願番号 特願2006-105931 (P2006-105931) (22) 出願日 平成18年4月7日 (2006.4.7) (65) 公開番号 特開2007-280082 (P2007-280082A) (43) 公開日 平成19年10月25日 (2007.10.25) 審査請求日 平成20年9月19日 (2008.9.19)</p>	<p>(73) 特許権者 308033711 OKIセミコンダクタ株式会社 東京都八王子市東浅川町550番地1 (74) 代理人 100086807 弁理士 柿本 恭成 (72) 発明者 内田 航 東京都港区虎ノ門1丁目7番12号 沖電 気工業株式会社内 審査官 緑川 隆</p>
--	--

最終頁に続く

(54) 【発明の名称】 演算装置

(57) 【特許請求の範囲】

【請求項1】

それぞれzビット（但し、 $z \geq 2$ ）からなる乗数及び被乗数が入力され、前記乗数及び前記被乗数のうちの各上位 $z/2$ ビットの特定領域が何ビット使用されているか否かを判定し、前記特定領域がxビット（但し、 $0 \leq x \leq z/2$ ）使用されていれば、前記乗数及び前記被乗数における上位 $(z/2 - x)$ ビットと下位xビットとを捨てて $z/2$ ビットにそれぞれ丸める丸め処理手段と、

前記捨てられた各ビット数の情報をそれぞれ記憶する記憶手段と、

前記丸め処理手段により丸められた前記乗数と前記被乗数とを乗算して乗算結果を出力する $z/2$ ビットの乗算器と、

前記記憶手段に記憶された前記ビット数の情報に基づき前記乗算結果をシフトして桁を調整する桁調整手段と、

を有することを特徴とする演算装置。

【請求項2】

それぞれzビット（但し、 $z \geq 2$ ）からなる複数の乗数及び被乗数が入力され、前記複数の乗数及び被乗数のうちの各上位 $z/2$ ビットの特定領域が何ビット使用されているか否かを検出して、使用されているビット数の最大値x（但し、 $0 \leq x \leq z/2$ ）を求め、前記乗数及び前記被乗数における上位 $(z/2 - x)$ ビットと下位xビットとを捨てて $z/2$ ビットにそれぞれ丸める丸め処理手段と、

前記捨てられたビット数の情報を記憶する記憶手段と、

10

20

前記丸め処理手段により丸められた前記乗数と前記被乗数とを乗算して乗算結果を出力する $z/2$ ビットの乗算器と、

前記記憶手段に記憶された前記ビット数の情報に基づき前記乗算結果をシフトして桁を調整する桁調整手段と、

を有することを特徴とする演算装置。

【発明の詳細な説明】

【技術分野】

【0001】

本発明は、例えば、固定小数点演算において低精度の乗算器を使用して演算結果の精度を向上させると共に演算を高速化するための丸め演算方法及びこの演算装置に関するものである。

10

【背景技術】

【0002】

従来、例えば、音声圧縮技術であるMP3 (MPEG-1 Audio Layer 3) をデコード (解読) するデコーダでは、高速乗算処理を必要とする。

【0003】

図2は、従来のMP3ファイルをデコードする処理のフロー (流れ) を示す図である。

MP3のデコードにおいては、図示しないデコーダは、17ビット (以下「bit」という。) のMP3ファイル1から読み込んだデータを基に (ステップS1)、物理量として意味のある行列データを生成する逆量子化処理を行う (ステップS2)。デコーダは、逆量子化して得られた17bitの各行列の要素を、図示しない高速な16bitの乗算器に入力するために (ステップS3)、16bitデータ2に丸める (即ち、0捨1入) 必要がある (ステップS4)。そのためには、MP3ファイル1の最上位bit (以下「MSB」という。) 又は最下位bit (以下「LSB」という。) を捨てなければならない。丸められたデータは、乗算器で演算され (ステップS5)、デコーダから出力される (ステップS6)。

20

【0004】

ところで、先に述べたデータを16bitに丸める処理 (ステップS4) において、LSBを捨てるとデータ精度が悪化する。これに対し、MSBを捨てるとデータがMSBまでフルに使用している場合、データが意図しない数値に丸められ、その結果、デコードした音が歪む恐れがある。

30

【0005】

このような丸めの問題を解決するための手法が、従来の特許文献1で提案されている。

【0006】

【特許文献1】米国特許第6,360,204B1

【0007】

図3は、従来の特許文献1に記載された丸め演算方法を示す図である。

この丸め演算方法では、以下のように丸め処理を工夫することによって、オーディオデコーダの精度を向上させている。

【0008】

40

乗数3及び被乗数4がそれぞれsbitのシグナルプロセッサ (Digital signal processor、以下「DSP」という。) によるオーディオデータを使用した乗算結果5は、最大2sbitになるため、これを次のような手順でsbitに丸める。

【0009】

まず、乗算結果5の上位sbit又は下位sbitのどちらを確保するかを選択する。一般に、上位bitの丸め処理では丸め精度が低く、下位bitの丸め処理では丸め精度が高い。これらの選択方法は任意である。次に、上位sbitを確保する場合は、データの飽和の有無 (即ち、MSBまで使用しているか否か) を確認し (ステップS10)、飽和がなければ丸め処理を行い (ステップS11)、飽和していれば丸めない。

【発明の開示】

50

【発明が解決しようとする課題】

【0010】

従来の丸め演算方法により、 s bitのDSPに実装したオーディオデコーダの精度を向上させることが可能になるが、図3に示すように、選択可能な精度が上位bitを確保する場合と下位bitを確保する場合、2通りに限定される問題があり、アプリケーション（応用）もオーディオデコーダに限定されている。

【0011】

つまり、従来の丸め演算方法あるいは演算装置では、例えば、汎用のマイクロプロセッサ（以下「MCU」という。）において、bit数の少ない低精度の乗算器を用いて乗算を高速化すると同時に、演算データの精度を柔軟に選択して確保することが難しく、しかも、対象アプリケーションをオーディオデコーダに限定せずに適用可能にすることが困難であった。

10

【課題を解決するための手段】

【0016】

請求項1に係る発明の演算装置では、 z bit（但し、 $z \geq 2$ ）からなる入力データのうちの上位 $z/2$ bitの特定領域が何ビット使用されているか否かを判定し、前記特定領域が x bit（但し、 $0 \leq x \leq z/2$ ）使用されていれば、前記入力データにおける上位 $(z/2 - x)$ bitと下位 x bitとを捨てて $z/2$ bitに丸める。

【0017】

請求項1に係る発明の演算装置では、丸め処理手段と、記憶手段と、 $z/2$ bitの乗算器と、桁調整手段とを有している。

20

【0018】

前記丸め処理手段は、それぞれ z bit（但し、 $z \geq 2$ ）からなる乗数及び被乗数が入力され、前記乗数及び前記被乗数のうちの各上位 $z/2$ bitの特定領域が何ビット使用されているか否かを判定し、前記特定領域が x bit（但し、 $0 \leq x \leq z/2$ ）使用されていれば、前記乗数及び前記被乗数における上位 $(z/2 - x)$ bitと下位 x bitとを捨てて $z/2$ bitにそれぞれ丸める。前記記憶手段は、前記捨てられた各bit数の情報をそれぞれ記憶する。前記乗算器は、前記丸め処理手段により丸められた前記乗数と前記被乗数とを乗算して乗算結果を出力する。更に、前記桁調整手段は、前記記憶手段に記憶された前記ビット数の情報に基づき前記乗算結果をシフトして桁を調整する。

30

【0019】

このように、請求項1の演算装置では、丸め込み処理において、確保する下位ビットフィールド（複数bit）の範囲を条件によって動的に変化させることにより、高速な低精度乗算器を使用して演算処理を高速化し、且つ、演算の出力精度を確保している。

【0020】

請求項2に係る発明の演算装置では、それぞれ z bit（但し、 $z \geq 2$ ）からなる複数の入力データにおいて、前記各入力データのうちの上位 $z/2$ bitの特定領域が何ビット使用されているか否かを検出して、使用されているbit数の最大値 x （但し、 $0 \leq x \leq z/2$ ）を求め、前記各入力データにおける上位 $(z/2 - x)$ bitと下位 x bitとを捨てて $z/2$ bitにそれぞれ丸める。

40

【0021】

この請求項2に係る発明の演算装置では、丸め処理手段と、記憶手段と、 $z/2$ bitの乗算器と、桁調整手段とを有している。

【0022】

前記丸め処理手段は、それぞれ z bit（但し、 $z \geq 2$ ）からなる複数の乗数及び被乗数が入力され、前記複数の乗数及び被乗数のうちの各上位 $z/2$ bitの特定領域が何ビット使用されているか否かを検出して、使用されているbit数の最大値 x （但し、 $0 \leq x \leq z/2$ ）を求め、前記乗数及び前記被乗数における上位 $(z/2 - x)$ bitと下位 x bitとを捨てて $z/2$ bitにそれぞれ丸める。前記記憶手段は、前記捨てられたbit数の情報を記憶する。前記乗算器は、前記丸め処理手段により丸められた前記乗数と前記被乗数とを乗算して

50

乗算結果を出力する。更に、前記桁調整手段は、前記記憶手段に記憶された前記bit数の情報に基づき前記乗算結果をシフトして桁を調整する。

【0023】

このように、請求項3、6の丸め演算方法あるいは演算装置では、丸め込み処理において、丸め込むbit数を計算単位で保持することによって、演算の出力精度を確保して記憶容量を削減している。

【発明の効果】

【0024】

請求項1に係る発明によれば、次の(i)~(iii)のような効果がある。

【0025】

(i) 丸め処理を工夫しているので、演算結果の精度を確保することが可能である。

【0026】

(ii) 所望($z/2$ bit)の乗算器を用いることができるため、例えば、 $z/2$ bit積和演算を高速に実行できるプロセッサでは、高速化することが可能になる。

【0027】

(iii) 確保するbit数を動的に変化させることにより、bit数の許す限りの精度を確保できるため、乗算器による演算結果精度を改善することが可能になる。

【0029】

請求項2に係る発明によれば、請求項1の効果(i)、(ii)と同様の効果があり、更に、計算単位毎にシフト情報を一括して管理するため、請求項1に係る発明と比較して、メモリ容量を削減することが可能になる。

【発明を実施するための最良の形態】

【0030】

固定小数点演算における丸め演算方法では、 z bit (但し、 $z \geq 2$) からなる入力データのうちの上位 n bit (但し、 $z > n \geq 2$) の特定領域が使用されているか否かを判定し、前記特定領域が使用されていなければ、前記入力データにおける前記上位 n bit と下位 ($z/2 - n$) bit とを捨てて $z/2$ bit 値に丸め、前記特定領域が使用されていれば、前記入力データにおける下位 $z/2$ bit を捨てて $z/2$ bit に丸める。

【実施例1】

【0031】

図1(1)、(2)は、本発明の実施例1を示す演算装置の説明図であり、同(1)は、概略の構成図、及び同図(2)は、処理内容を示す図である。

【0032】

この演算装置は、例えば、MP3のデコードのアプリケーションに使用される固定小数点演算の乗算を行う装置であり、複数(K)の z bit (例えば、32 bit) からなる入力データ $IN_1 \sim IN_K$ の集合を入力する丸め処理手段 (例えば、丸め処理部) 10 を有している。丸め処理部 10 は、各 z bit の入力データ $IN_1 \sim IN_K$ のうちの上位 n bit (固定値) の特定領域 A の使用状態によって、確保するビットフィールド C を選択して $z/2$ (例えば、16 bit) に丸め込む機能を有している。

【0033】

即ち、丸め処理部 10 は、各入力データ $IN_1 \sim IN_K$ について、上位 n bit の特定領域 A が使用されているか否かを判定し、特定領域 A が使用されていなければ (図1(2)の(a)の場合)、この上位 n bit の特定領域 A と、残りの ($z/2 - n$) bit の非特定領域 B のうちの下位 ($z/2 - n = 16 - n$) bit とを捨て、確保するビットフィールド C を選択して 16 bit 値に丸め、特定領域 A が使用されていれば (図1(2)の(b)の場合)、非特定領域 B のうちの下位 16 bit を捨て、確保するビットフィールド C を選択して 16 bit 値に丸める機能を有している。

【0034】

このような丸め処理部 10 には、記憶手段 (例えば、メモリ) 20、及び $z/2$ bit (例えば、18 bit) の乗算器 30 が接続され、更に、そのメモリ 20 及び乗算器 30 に、

10

20

30

40

50

桁調整手段（例えば、桁調整部）40が接続されている。

【0035】

メモリ20は、丸め込む際に切り捨てた各bit数の情報（即ち、bit幅の情報）をシフト情報SHIFTとして保存するための複数（K）のメモリ領域 $21-1 \sim 21-K$ を有している。18bitの乗算器30は、丸められた複数の16bitのデータ $D10-1 \sim D10-K$ のうちから、乗数となる16bitのデータと被乗数となる16bitのデータとをそれぞれ乗算して、各32bitの乗算結果 $D30$ を桁調整部40へ出力する回路である。桁調整部40は、各メモリ領域 $21-1 \sim 21-K$ に保存された各シフト情報SHIFTに基づき、各乗算結果 $D30$ をそれぞれシフトして桁を調整するものである。

【0036】

丸め処理部10及び桁調整部40は、算術論理ユニット（以下「ALU」という。）あるいはシフタ等で構成されている。

【0037】

（実施例1の丸め演算方法を含む乗算処理）

図4は、図1(2)の(a)、(b)の場合の丸め演算方法を示す説明図である。図5は、図1の丸め演算方法を含む乗算処理を示すフローチャートである。

【0038】

32bitの入力データ $IN1 \sim INK$ の集合に対する乗算処理は、図5のフローチャートに従って以下のように実行される。

【0039】

乗算処理が開始されて（ステップS20）、32bitの入力データ $IN1 \sim INK$ の集合が丸め処理部10に入力されると（ステップS21）、この丸め処理部10では、ある入力データ（例えば、 $IN1$ 、 $IN2$ ）が上位nbit（例えば、3bit）の特定領域Aを使用しているか否かを判定し（ステップS22）、この判定結果に基づいて丸め処理を行う（ステップS23-1、S23-2）。

【0040】

例えば、図4の(a)の場合のように、入力データ $IN1$ が上位nbit（=3bit）の特定領域Aを使用していなければ（“000”）、この上位nbit（=3bit）と非特定領域Bの下位 $(16-n)$ bit（=13bit）とを捨て（即ち、MSBから“0”を挿入して $(16-n)=13$ bitだけ右にシフトし）、確保するビットフィールドCを選択して16bit値に丸める（ステップS23-1）。

【0041】

これに対し、図4の(b)の場合のように、入力データ $IN2$ が上位nbit（=3bit）の特定領域Aを使用していれば（“101”）、非特定領域Bの下位16bitを捨て（即ち、MSBから“0”を挿入して16bitだけ右にシフトし）、確保するビットフィールドCを選択して16bit値に丸める（ステップS23-2）。

【0042】

図4の(a)の丸め処理の結果、捨てられた非特定領域Bの下位 $(16-n)=13$ bitのシフト情報SHIFTをメモリ領域 $21-1$ に格納する（ステップS24-1）。又、図4の(b)の丸め処理の結果、捨てられた非特定領域Bの下位16bitのシフト情報SHIFTをメモリ領域 $21-2$ に格納する（ステップS24-2）。

【0043】

他の入力データ $IN3 \sim INK$ についても、同様に丸め処理する。メモリ領域 $21-1 \sim 21-K$ は、入力データ $IN1 \sim INK$ の個数分用意されているので、各入力データ $IN1 \sim INK$ に対応するシフト情報SHIFTは、各メモリ領域 $20-1 \sim 20-K$ に個別に格納される。

【0044】

丸められた各16bitのデータ $D10-1 \sim D10-K$ は、乗算器30で乗算され（ステップS25）、32bitの乗算結果 $D30$ が桁調整部40へ送られる。桁調整部40では、メモリ領域 $21-1 \sim 21-k$ にそれぞれ格納されたシフト情報SHIFTに基づき、乗

10

20

30

40

50

算結果 D 3 0 を左にシフトして桁を調整し (ステップ S 2 6)、出力データ O U T を出力して処理を終了する (ステップ S 2 7)。

【 0 0 4 5 】

(実施例 1 の効果)

本実施例 1 によれば、次の (1) ~ (4) のような効果がある。

【 0 0 4 6 】

(1) 丸め処理を工夫しているので、演算結果の精度を確保することが可能である。

【 0 0 4 7 】

(2) 1 6 bit の乗算器 3 0 を用いることができるため、例えば、1 6 bit 積和演算を高速に実行できるプロセッサでは、高速化することが可能になる。

10

【 0 0 4 8 】

(3) 確保するビットフィールド C の bit 数 (n bit) を調整することにより、アプリケーションに合わせた精度を確保することが可能である。

【 0 0 4 9 】

(4) 図 6 (1)、(2) は、本発明の実施例と従来との演算精度を比較した図であり、同図 (1) は比較したシミュレーション結果を示す図、及び同図 (2) は同図 (1) の演算精度の求め方を示す図である。

【 0 0 5 0 】

図 6 (2) に示すように、演算精度 (即ち、丸めの誤差) を求める場合、複数個 (例えば、1 2 8 個) の入力データ I N 1 ~ I N K を演算装置に入力し、演算結果の真の値 5 0 と丸めた値 5 1 との誤差 5 2 を求め、この誤差 5 2 の平均値を求めれば良い。誤差 5 2 の平均値は、下記の R M S (実効値 V R M S) で表すことができる。

20

【 0 0 5 1 】

【 数 1 】

$$V_{RMS} = \sqrt{\frac{1}{T} \cdot \int_{\Delta t=T} V(t)^2 \cdot dt}$$

但し、 t : 入力データのインデックス

30

v(t) : 誤差

T : 入力データ数

【 0 0 5 2 】

図 6 (1) のシミュレーション結果は、上位 1 6 bit を確保した場合 (従来 of 曲線 5 3) の精度 (R M S 従来 of 直線 5 4) と本発明の実施例 1 を使用した場合 (実施例 1 of 曲線 5 5) の精度 (R M S 実施例 of 直線 5 6) とを比較したものである。例として、1 2 8 サンプルの 3 2 bit 入力値をそれぞれ 1 6 bit 値に丸め、3 2 bit 入力値との誤差を示している。このシミュレーション結果によると、R M S 従来 of 直線 5 4 と R M S 実施例 of 直線 5 6 から、従来 of 演算精度よりも本実施例 1 of 演算精度の方が誤差が小さく精度が高いことが分かる。

40

【 実施例 2 】

【 0 0 5 3 】

(実施例 2 の構成)

図 7 は、本発明の実施例 2 における演算装置の処理内容を示す図であり、実施例 1 を示す図 1 (2) 中の要素と共通の要素には共通の符号が付されている。

【 0 0 5 4 】

本実施例 2 の演算装置は、実施例 1 とは処理内容の異なる丸め処理手段 (例えば、丸め処理部) 1 0 - 1 と、実施例 1 と同様の記憶手段 (例えば、メモリ) 2 0、z / 2 bit (

50

例えば、18bit)の乗算器30、及び桁調整手段(例えば、桁調整部)40とにより構成されている。

【0055】

丸め処理部10-1は、各32bitの入力データIN1~INKのうちの上位 $z/2$ bitの特定領域Aの使用状態によって、確保するビットフィールドCをデータ個別に動的に変化させて $z/2$ (例えば、16bit)に丸め込む機能を有している。即ち、この丸め処理部10-1は、各入力データIN1~INKについて、上位nbitの特定領域Aが何bit使用されているか否かを判定し、 x bit($0 < x < z/2$)使用されていれば、特定領域Aの上位($z/2 - x$)bitと、非特定領域Bの下位 x bitとを捨て、確保するビットフィールドCを選択して16bit値に丸める機能を有している。

10

【0056】

実施例1と同様に、丸め込む際に切り捨てたビット幅の情報はシフト情報SHIFTとして、メモリ20内に用意されたデータの個数分のメモリ領域21-1~21-Kに保存され、乗算器30で乗算された乗算結果の桁を、桁調整部40にてシフトして調整するために使用される構成になっている。

【0057】

(実施例2の丸め演算方法を含む乗算処理)

図8は、図7の丸め演算方法を含む乗算処理を示すフローチャートであり、実施例1を示す図5中の要素と共通の要素には共通の符号が付されている。

【0058】

32bitの入力データIN1~INKの集合に対する乗算処理は、図8のフローチャートに従って以下のように実行される。

20

【0059】

乗算処理が開始されて(ステップS20)、32bitの入力データIN1~INKの集合が丸め処理部10-1に入力されると(ステップS21)、この丸め処理部10-1では、ある入力データ(例えば、IN1, IN2)が上位 $z/2$ bit(例えば、16bit)の特定領域Aを何bit(x bit)使用しているか否かを判定する(ステップS32)。入力データ(例えば、IN1, IN2)が特定領域Aを x bit($0 < x < 16$)使用しているとすると、特定領域Aの上位($16 - x$)bitと、非特定領域Bの下位 x bitとを捨て、確保するビットフィールドCを選択して16bit値に丸める(ステップS33)。

30

【0060】

例えば、入力データIN1が特定領域A中の $x(=3)$ bitを使用している場合、この特定領域Aの上位($16 - x = 13$)bitと、非特定領域Bの下位 $x(=3)$ bitとを捨てて16bit値に丸める。又、入力データIN2が特定領域A中の $x(=5)$ bitを使用している場合、この特定領域Aの上位($16 - x = 11$)bitと、非特定領域Bの下位 $x(=5)$ bitとを捨てて16bit値に丸める。

【0061】

丸め処理の結果、捨てられた非特定領域Bの下位 x bitのシフト情報SHIFTをメモリ領域21-1, 21-2に格納する(ステップS34)。他の入力データIN3~INKについても、同様に丸め処理する。実施例1と同様に、メモリ領域21-1~21-Kは、入力データIN1~INKの個数分用意されているので、各入力データIN1~INKに対応するシフト情報SHIFTは、各メモリ領域21-1~21-Kに個別に格納される。

40

【0062】

丸められた各16bitのデータD10-1~D10-Kは、実施例1と同様に、乗算器30で乗算され(ステップS25)、32bitの乗算結果D30が桁調整部40へ送られる。桁調整部40では、メモリ領域20-1~20-kにそれぞれ格納されたシフト情報SHIFTに基づき、乗算結果D30を左にシフトして桁を調整し(ステップS26)、処理を終了する(ステップS27)。

【0063】

(実施例2の効果)

50

本実施例 2 によれば、実施例 1 の効果 (1)、(2) と同様の効果があり、更に、次の (4) のような効果がある。

【 0 0 6 4 】

(4) 確保する bit 数を動的に変化させることにより、bit 数の許す限りの精度を確保できるため、実施例 1 と比較して乗算器 3 0 による演算結果精度を改善することが可能になる。これに関して、図 6 と同様のシミュレーション結果によれば、実施例 1 よりも精度が向上できた。

【実施例 3】

【 0 0 6 5 】

(実施例 3 の構成)

図 9 は、本発明の実施例 3 における演算装置の処理内容を示す図であり、実施例 1 を示す図 1 (2) 中の要素と共通の要素には共通の符号が付されている。

【 0 0 6 6 】

本実施例 3 の演算装置は、実施例 1 とは処理内容の異なる丸め処理手段 (例えば、丸め処理部) 1 0 - 2 と、実施例 1 とは記憶容量の異なる記憶手段 (例えば、メモリ) 2 0 - 1 と、実施例 1 と同様の $z / 2$ bit (例えば、1 8 bit) の乗算器 3 0、及び桁調整手段 (例えば、桁調整部) 4 0 とにより構成されている。

【 0 0 6 7 】

丸め処理部 1 0 - 2 は、各 z bit (例えば、3 2 bit) の入力データ $I N 1 \sim I N K$ の上位 $z / 2$ bit (例えば、1 6 bit) の特定領域 A の使用状態によって、確保するビットフィールド C を動的に変化させて $z / 2$ (例えば、1 6 bit) に丸め込む機能を有している。即ち、この丸め処理部 1 0 - 2 は、複数の入力データ $I N 1 \sim I N K$ のうちの各上位 n bit (例えば、1 6 bit) の特定領域 A が何ビット使用されているか否かを検出して、使用されているビット数の最大値 x (但し、 $0 \leq x \leq z / 2$) を求め、入力データ $I N 1 \sim I N K$ における上位 $(z / 2 - x)$ bit と下位 x bit とを捨てて $z / 2$ bit にそれぞれ丸める機能を有している。

【 0 0 6 8 】

丸め込む際に切り捨てたビット幅の情報はシフト情報 SHIFT として、メモリ 2 0 - 1 内のメモリ領域 2 1 - 1 に保存される。シフト情報 SHIFT は、データの計算単位 (データ集合) 毎に保持され、乗算器 3 0 で乗算された乗算結果の桁を、桁調整部 4 0 にてシフトして調整するために使用される構成になっている。

【 0 0 6 9 】

(実施例 3 の丸め演算方法を含む乗算処理)

図 1 0 は、図 9 の丸め演算方法を含む乗算処理を示すフローチャートであり、実施例 1 を示す図 5 中の要素と共通の要素には共通の符号が付されている。

【 0 0 7 0 】

3 2 bit の入力データ $I N 1 \sim I N K$ の集合に対する乗算処理は、図 1 0 のフローチャートに従って以下のように実行される。

【 0 0 7 1 】

乗算処理が開始されて (ステップ S 2 0)、3 2 bit の入力データ $I N 1 \sim I N K$ の集合が丸め処理部 1 0 - 2 に入力されると (ステップ S 2 1)、この丸め処理部 1 0 - 2 では、データ集合の z bit (例えば、3 2 bit) 長の各入力データ $I N 1 \sim I N K$ が、上位 $z / 2$ bit (例えば、1 6 bit) の特定領域 A を何ビット使用しているかを検出する (ステップ S 4 2)。使用している bit 数の最大値が x bit ($0 \leq x \leq 1 6$) であるとする、各入力データ $I N 1 \sim I N K$ の上位 $(1 6 - x)$ bit と下位 x bit を捨て、確保するビットフィールド C を選択して 1 6 bit 値に丸める (ステップ S 4 3)。

【 0 0 7 2 】

例えば、入力データ $I N 1$ が特定領域 A 中の x ($= 4$) bit を使用し、入力データ $I N 2$ が 5 bit を使用し、入力データ $I N K$ が 3 bit を使用している場合、使用している bit 数の最大値 x が 5 bit となる。そこで、各入力データ $I N 1 \sim I N K$ の上位 $(1 6 - x = 1$

10

20

30

40

50

1) bitと下位 $x (= 5)$ bitを捨てて16bit値に丸める。

【0073】

丸め処理の結果、各入力データ $I N 1 \sim I N K$ において捨てられた非特定領域 B の下位 $x (= 5)$ bitのシフト情報SHIFTをメモリ領域 $2 1 - 1$ に格納する(ステップ $S 4 4$)。捨てられるbit数 $(= 5)$ は、データ集合の各入力データ $I N 1 \sim I N K$ において共通である。このため、メモリ領域 $2 1 - 1$ は1つ用意し、各データ共通に使用する。

【0074】

丸められた各16bitのデータ $D 1 0 - 1 \sim D 1 0 - K$ は、実施例1と同様に、乗算器30で乗算され(ステップ $S 2 5$)、32bitの乗算結果 $D 3 0$ が桁調整部40へ送られる。桁調整部40では、メモリ領域 $2 1 - 1$ に格納されたシフト情報SHIFTに基づき、乗算結果 $D 3 0$ を左にシフトして桁を調整し(ステップ $S 2 6$)、処理を終了する(ステップ $S 2 7$)。

【0075】

(実施例3の効果)

本実施例3によれば、実施例1の効果(1)、(2)と同様の効果があり、更に、次の(5)のような効果がある。

【0076】

(5) 計算単位毎にシフト情報SHIFTを一括して管理するため、実施例2と比較して、メモリ容量を削減することが可能になる。これに関して、図6と同様のシミュレーション結果によれば、実施例1と実施例2の中間の精度が確保できた。

【0077】

(変形例)

本発明は実施例1~3に限定されず、種々の利用形態や変形が可能である。この利用形態や変形例としては、例えば、次の(1)、(11)のようなものがある。

【0078】

(1) 演算装置を構成する丸め処理部10, 10-1, 10-2、乗算器30、及び桁調整部40のbit数は任意であり、更に、これらの演算装置を図示以外の他の構成に変更しても良い。

【0079】

(11) 実施例1~3では、MP3のデコードを例に挙げたが、本発明は、乗算器30を使用する演算の高速化等の目的でデータを丸める必要がある種々のアプリケーションにおいて精度を確保することを可能にする。

【図面の簡単な説明】

【0080】

【図1】本発明の実施例1を示す演算装置の説明図である。

【図2】従来のMP3ファイルをデコードする処理のフローを示す図である。

【図3】従来の特許文献1に記載された丸め演算方法を示す図である。

【図4】図1(2)の(a)、(b)の場合の丸め演算方法を示す説明図である。

【図5】図1の丸め演算方法を含む乗算処理を示すフローチャートである。

【図6】本発明の実施例と従来との演算精度を比較した図である。

【図7】本発明の実施例2における演算装置の処理内容を示す図である。

【図8】図7の丸め演算方法を含む乗算処理を示すフローチャートである。

【図9】本発明の実施例3における演算装置の処理内容を示す図である。

【図10】図9の丸め演算方法を含む乗算処理を示すフローチャートである。

【符号の説明】

【0081】

10, 10-1, 10-2 丸め処理部

20, 20-1 メモリ

21-1 ~ 21-K メモリ領域

30 乗算器

10

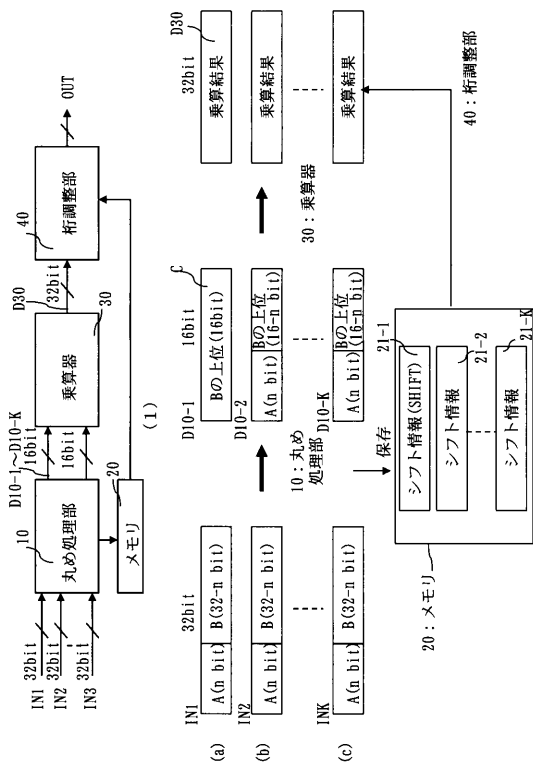
20

30

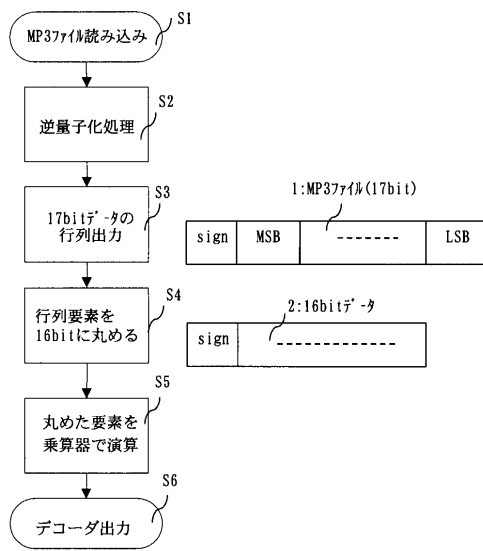
40

50

【図1】

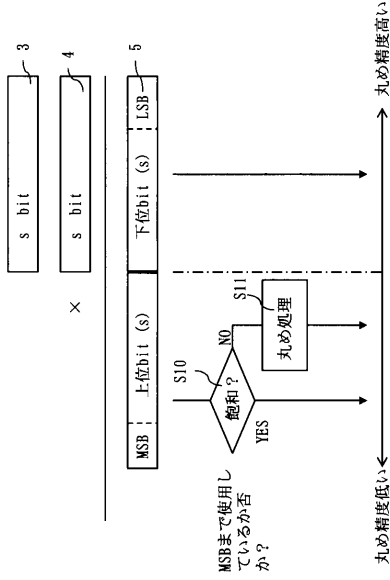


【図2】

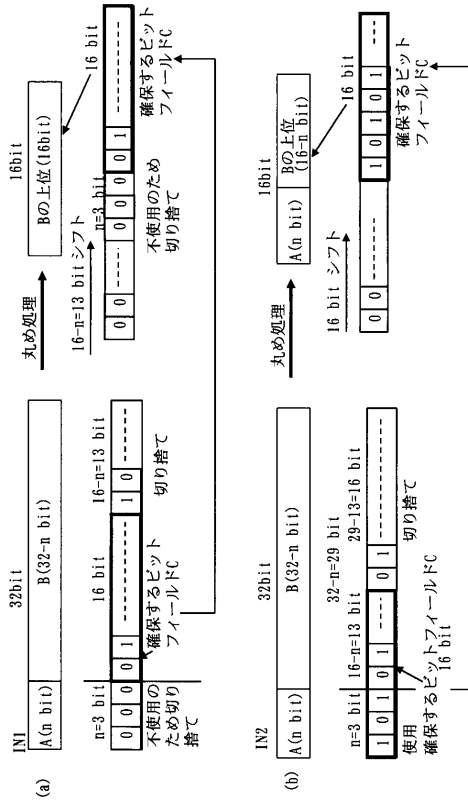


MP3ファイルデコード処理フロー

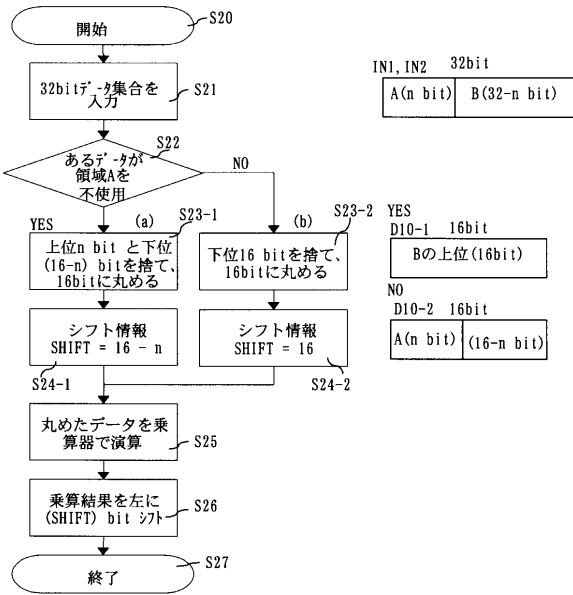
【図3】



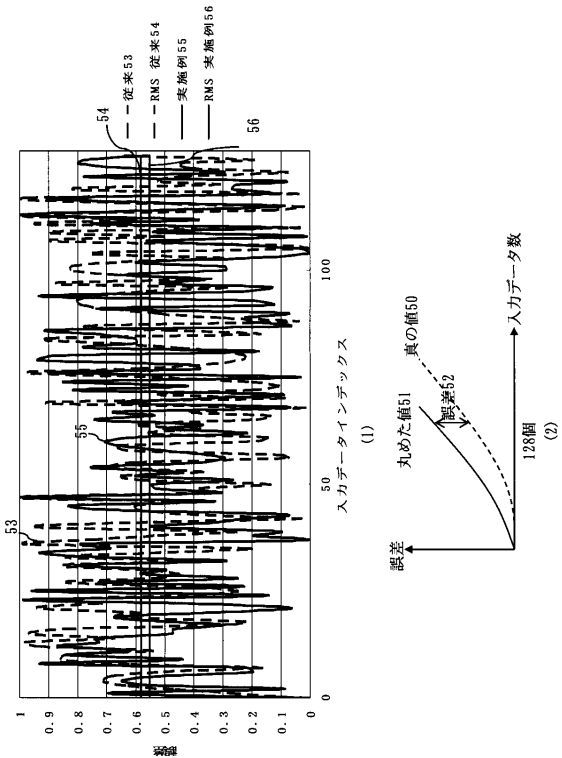
【図4】



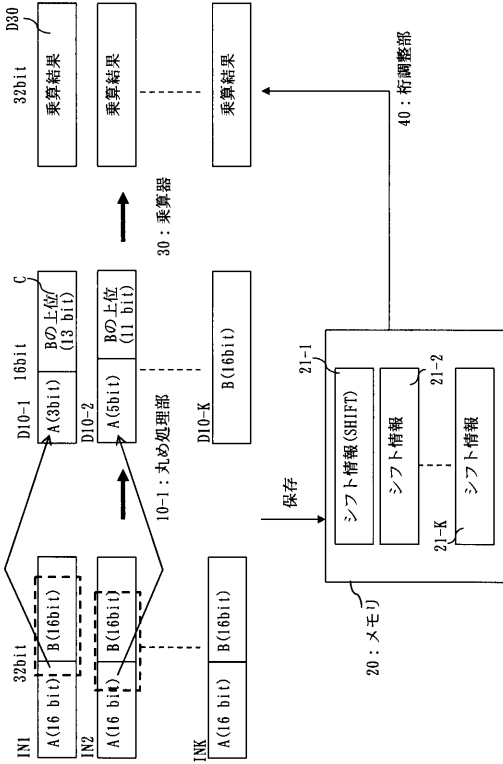
【図5】



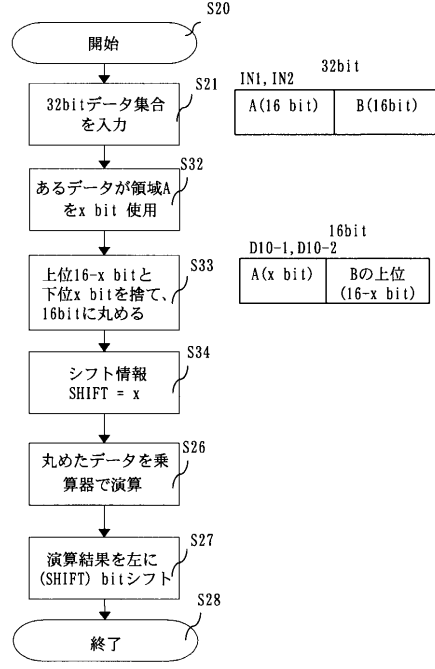
【図6】



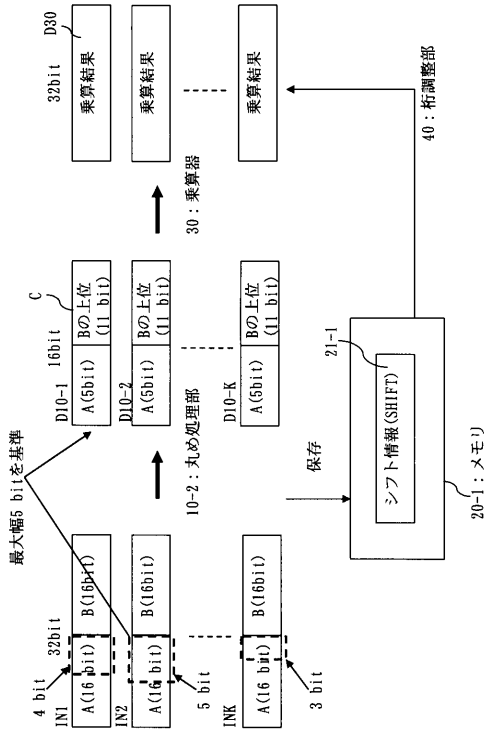
【図7】



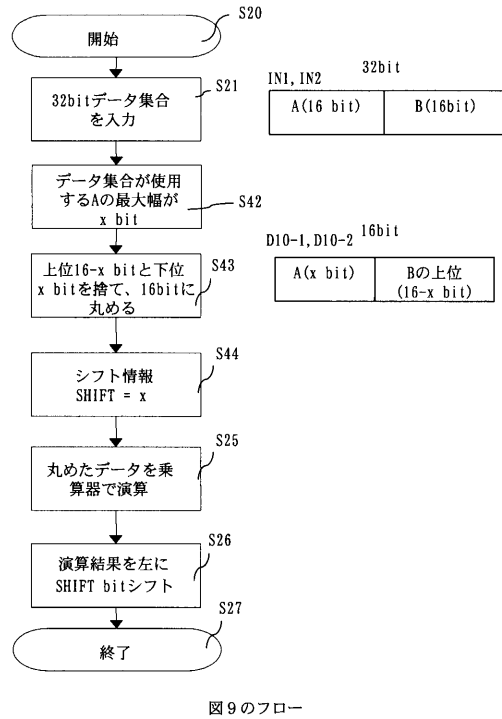
【図8】



【図9】



【図10】



フロントページの続き

- (56)参考文献 特開平06 - 035672 (JP, A)
特開平05 - 040605 (JP, A)
特開2002 - 304288 (JP, A)
国際公開第99 / 066423 (WO, A1)
特開平05 - 040606 (JP, A)
特開2003 - 067182 (JP, A)
特開平10 - 040073 (JP, A)
特開平11 - 219432 (JP, A)
特開平05 - 073266 (JP, A)

(58)調査した分野(Int.Cl., DB名)

G06F 7/38